

УДК 532.6.011.55:532.526.2

© 1993 г. Т. В. КОНОТОП, В. Н. ТРИГУБ

## ОБТЕКАНИЕ ТРЕХМЕРНЫХ НЕРОВНОСТЕЙ В ГИПЕРЗВУКОВОМ ПОГРАНИЧНОМ СЛОЕ НА ОХЛАЖДЕННОМ ТЕЛЕ

Исследуется обтекание малых пространственных неровностей на поверхности холодного тела гиперзвуковым потоком газа. Установлены основные параметры задачи, определяющие физические особенности течения в пристеночном вязком слое. Численно исследованы решения краевой задачи о вязком подслое при обтекании клина конечного размаха на линии симметрии клина, показано влияние параметров подобия. Сильное охлаждение поверхности обтекаемого тела при гиперзвуковых скоростях внешнего течения приводит к увеличению числа Маха внутри слоя, в результате чего пограничный слой может стать закритическим. Закритический пограничный слой реагирует на изменение давления как сверхзвуковая струйка тока. В этом случае возмущения проникают вверх по течению лишь на расстояния, сравнимые с толщиной невозмущенного пограничного слоя. Такие режимы обтекания реальны при полетах аппаратов с гиперзвуковой скоростью.

Наибольший интерес здесь представляет исследование обтекания локальных неровностей, моделирующих различные элементы конструкций аппаратов, так как вблизи даже малых неровностей могут образовываться зоны повышенных тепловых потоков [1]. В [2, 3] было исследовано обтекание двумерных неровностей, для которых проведена классификация режимов течения, получены примеры численных решений. Отдельные режимы обтекания малых пространственных неровностей рассмотрены в [4—8], там же представлены численные решения линеаризованных краевых задач.

В [9] рассматривалась двумерная задача обтекания охлажденного тела с установленным на нем щитком на режиме слабого гиперзвукового взаимодействия. Было получено распределение индуцированного давления по области взаимодействия. Основной особенностью решения стала зависимость функционального вида распределения возмущения давления от интеграла Пирсона

$$L = \int_0^{\delta^-} \left( \frac{1}{Mo^2(y)} - 1 \right) dy$$

где  $Mo(y)$  — профиль числа Маха невозмущенного пограничного слоя с толщиной  $\delta$ . Оказалось, что при  $L > 0$  увеличение давления происходит до щитка (такой режим назван докритическим), а при  $L < 0$  область возмущения лежит за угловой точкой (закритический режим). Результаты [9] были использованы в работе [10], где проведен расчет вязкого подслоя и получены распределения тепловых потоков на стенке для различных углов отклонения щитка.

В настоящей работе исследуется обтекание трехмерной неровности, расположенной на дне гиперзвукового пограничного слоя на охлажденной поверхности.

**1. Постановка задачи.** Пусть на поверхности пластины на достаточном расстоянии от ее передней кромки (там, где реализуется режим слабого взаимодействия) находится небольшая пространственная выпуклость.

Введем декартову систему координат так, чтобы ось  $X_p$  совпала с направлением невозмущенного набегающего потока, ось  $Z_p$  была перпендикулярна  $X_p$  на плоскости пластины, а  $Y_p$  — перпендикулярна плоской поверхности. Предполагается, что характерная толщина неровности по порядку величины меньше толщины невозмущенного пограничного слоя  $\delta$  на пластине, а ее протяженность  $l$  больше характерной толщины пограничного слоя  $\delta$ . Ширина неровности предполагается сравнимой с ее длиной. Поперечный характерный

размер неровности  $y_p = \delta \sigma h \cdot (x_p/l, z_p/l)$ , где  $h(x_p/l, z_p/l)$  — форма поверхности,  $\sigma \ll 1$ . Для простоты ограничимся рассмотрением течения совершенного газа с постоянными удельными теплоемкостями  $c_p$  и  $c_v$ ,  $c_p/c_v = \gamma$ .

Пусть  $u, v, w$  — компоненты скорости в прямоугольной системе координат  $x_p, y_p, z_p, \rho$  — плотность,  $P_p$  — давление,  $T$  — температура. Считаем, что до неровности реализуется режим слабого гиперзвукового взаимодействия при  $M_e \rightarrow \infty$ , где  $M_e$  — число Маха невозмущенного набегающего потока. Ниже индекс  $e$  употребляется для параметров в невозмущенном набегающем потоке.

Рассмотрим сначала течение в области, включающей в себя основную часть невозмущенного пограничного слоя.

Предельное состояние течения над плоской пластиной при  $M_e \rightarrow \infty, Re \rightarrow \infty, y = y_p/\delta = O(1)$  — плоскопараллельный поток вдоль оси  $x_p$  с распределением скорости  $u = u_e u_0(y), v = 0, w = 0$  и плотности  $\rho = P_e u_e^{-2} \rho_0(y)$ . Начальные невозмущенные профили скорости  $u_0(y)$  и плотности  $\rho_0(y)$  имеют конечную толщину  $y_p = \delta$ .

Для плоских течений при достаточно малых значениях температурного фактора  $g_w$ , характеризующего величину отношения энтальпии газа на поверхности тела к энтальпии торможения внешнего сверхзвукового потока, главный вклад в изменение толщины пограничного слоя при возмущении давления вносит основная по толщине часть пограничного слоя [9, 10]. Полагаем, что градиент давления, индуцируемый неровностью, велик. Это приводит к выводу, что влияние сил вязкости на течение в этой области несущественно, а изменения функций малы, поскольку предполагается, что мало индуцированное давление. Представим решение задачи в области  $y = O(1)$  в виде асимптотического разложения

$$u = u_e [u_0(y) + \sigma u_1(x, y, z) + \dots], \quad v = u_e \tau v_1(x, y, z) + \dots \quad (1.1)$$

$$w = u_e \sigma w_1(x, y, z) + \dots$$

$$p_p = p_e [1 + \sigma p_1(x, z) + \dots]$$

$$\rho = \frac{p_e}{u_e^2} [\rho_0(y) + \sigma \rho_1(x, y, z) + \dots]$$

$$\tau = \delta/l \ll 1, \quad x_p = lx, \quad y_p = \tau ly, \quad z_p = lz$$

Подстановка разложений (1.1) в уравнение Навье — Стокса и совершение предельного перехода  $\tau \rightarrow 0, \sigma \rightarrow 0$  приводят в первом приближении к системе уравнений, решение которой, удовлетворяющее условиям непротекания, может быть получено в виде

$$w_1 = - \frac{u_0}{\gamma M_0^2} g$$

$$v_1 = u_0 \frac{\partial h}{\partial x} + \frac{u_0}{\gamma} \left[ \frac{\partial p_1}{\partial x} L + \frac{\partial \varphi}{\partial x} (L + 1) \right] \quad (1.2)$$

$$\rho_1 = \frac{1}{\gamma} \rho_0 p_1 - \rho_0' h(x, z) - \frac{1}{\gamma} \rho_0' [p_1 L + \varphi (L + 1)]$$

$$u_1 = - \frac{p_1}{\rho_0 u_0} - \frac{\partial u_0}{\partial y} \left[ h(x, z) + \frac{p_1}{\gamma} L + \frac{\varphi}{\gamma} (L + 1) \right]$$

$$\frac{\partial \varphi}{\partial x} = \frac{\partial g}{\partial z}, \quad \frac{\partial g}{\partial x} = \frac{\partial p}{\partial z}, \quad p_1 \equiv p(x, z)$$

Здесь  $p(x, z)$  — произвольная функция, которая будет определена в дальнейшем.

Рассмотрим возмущенное течение в области внешнего потока над неровностью. Возмущение толщины пограничного слоя  $\Delta\delta/\delta = O(\tau\sigma)$  вызывает, по оценкам линейной теории, возмущение давления на внешней границе  $\Delta p/p = O(M_\infty\sigma\tau)$ . Значит, для того чтобы внешнее возмущение давления соответствовало по порядку возмущению внутри слоя ( $\Delta p/p = O(\sigma)$ ), необходимо положить  $\tau = 1/M_\infty$ . Толщина внешней области определяется наклоном характеристик, что позволяет принять в качестве вертикальной координаты в этой области переменную  $\eta = y - 1$ . В рамках точности первого приближения течение будет оставаться изэнтропическим. Из решения уравнений в виде (1.1) следует вид соответствующих разложений в области внешнего гиперзвукового потока

$$u = u_e [1 + \tau^2 \sigma u_1(x, \eta, z) + \dots] \quad (1.3)$$

$$v = u_e \tau \sigma v_1(x, \eta, z) + \dots, \quad w = u_e \tau^2 \sigma w_1(x, \eta, z) + \dots$$

$$p = p_e [1 + \sigma p_1(x, \eta, z) + \dots], \quad \rho = \rho_e [1 + \sigma \rho_1(x, \eta, z) + \dots]$$

Подстановка разложений (1.3) в уравнение Эйлера приводит в первом приближении к системе уравнений

$$\frac{\partial u_1}{\partial x} = -\frac{1}{\gamma} \frac{\partial p_1}{\partial x}, \quad \frac{\partial v_1}{\partial x} = -\frac{1}{\gamma} \frac{\partial p_1}{\partial \eta}$$

$$p_1 = \gamma p_1, \quad \frac{\partial p_1}{\partial x} + \frac{\partial v_1}{\partial \eta} = 0, \quad \frac{\partial w}{\partial x} = -\frac{1}{\gamma} \frac{\partial p_1}{\partial z}$$

Учитывая, что на характеристиках, приходящих на границу пограничного слоя, возмущение отсутствует, можно получить связь функций на границе  $\eta = 0$ :  $v_1 = \rho_1 = p_1/\gamma = -u, \eta = 0$ .

Проводя сращивания вертикальной компоненты скорости  $v_1$ , получаем уравнение, замыкающее поставленную задачу

$$\frac{p_1}{\gamma} = \frac{\partial h}{\partial x} + \frac{1}{\gamma} \left[ \frac{\partial p_1}{\partial x} L + \frac{\partial \varphi}{\partial x} (L + 1) \right] \quad (1.4)$$

**2. Распределения давления, индуцированного клином конечного размаха.** В качестве примера рассмотрим обтекание клина конечного размаха  $-a \leq z \leq a$  с малым углом  $\alpha$ , установленного на дне пограничного слоя на пластине при  $x > 0$ . Координаты верхней поверхности клина выражаются через толщину пограничного слоя  $\delta$ , параметр  $\sigma$  и введенную ранее функцию  $h(x, z)$  в виде  $y_p = \delta \sigma h(x, z)$ , продольная координата  $x_p = \delta M_\infty x$ , следовательно,  $\alpha = \delta \sigma h(x, z) / \delta M_\infty x$ ,  $h = \alpha M_\infty x / \sigma$  при  $-a \leq z \leq a$ . Выберем малый параметр  $\sigma = \alpha M_\infty \ll 1$ , тогда в безразмерных переменных

$$h(x, z) = x, \quad x > 0, \quad -a \leq z \leq a$$

$$h(x, z) = 0, \quad |x| > 0, \quad z \notin (-a, a)$$

Уравнение для возмущения давления (1.4) представимо в виде

$$\frac{\partial^2 p_1}{\partial x^2} L + \frac{\partial^2 p_1}{\partial z^2} (L + 1) = \frac{\partial p_1}{\partial x} - \gamma \frac{\partial^2 h}{\partial x^2} \quad (2.1)$$

Рассмотрим прежде всего случай  $L < 0$ . При закритическом режиме ( $L < 0$ ) возмущения от препятствия не проникают вверх по течению и на линии  $x = 0$  давление остается невозмущенным  $p_1(0, z) = 0$ . Требуя непрерывности давления при переходе через линию  $x = 0$ , приходим к краевой задаче в области  $x > 0$

$$\left. \begin{matrix} \frac{\partial \xi}{\partial U} \\ \theta \end{matrix} \right\} = \eta(0, \eta) \begin{matrix} 0 \\ \theta \end{matrix} \left. \begin{matrix} \eta > 1 \\ \eta < 1 \end{matrix} \right\}$$

$$U(0, \eta) = 0$$

$$\frac{\partial^2 U}{\partial z^2} - \frac{\partial^2 U}{\partial \xi^2} + \frac{\partial U}{\partial \xi} = 0, \quad -\infty < \eta < \infty, \quad \xi > 0$$

$$\theta = \frac{\sqrt{1 - T(T + 1)}}{v}$$

$$\eta = \frac{v}{z}, \quad \xi = \frac{v \sqrt{1 - T(T + 1)}}{x}, \quad d_1(x, z) = U(\xi, \eta) \exp\left(-\frac{z}{\theta \xi}\right),$$

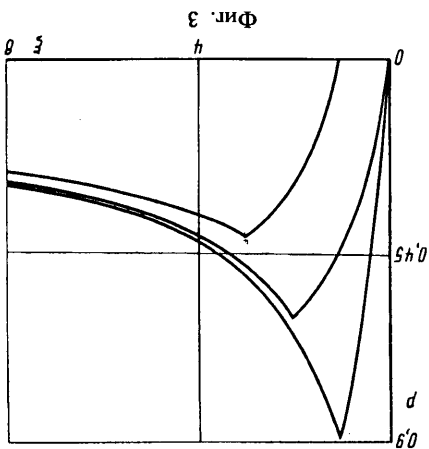
Выполняя замену переменных, приведем задачу (2.2) к виду

$$\left. \begin{matrix} \frac{\partial^2 d_1}{\partial x^2} \\ \frac{\partial d_1}{\partial z} \end{matrix} \right\} = \begin{matrix} 0 \\ -\gamma/T \end{matrix} \left. \begin{matrix} (|z| < a) \\ (-a \leq z \leq a) \end{matrix} \right\}$$

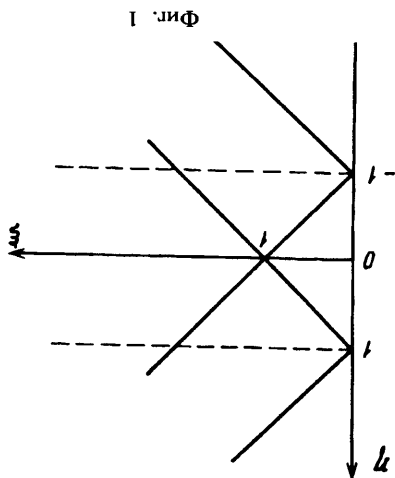
$$d_1(0, z) = 0$$

$$\frac{\partial^2 d_1}{\partial z^2} T + \frac{\partial d_1}{\partial z} (T + 1) = \frac{\partial x}{\partial d_1}$$

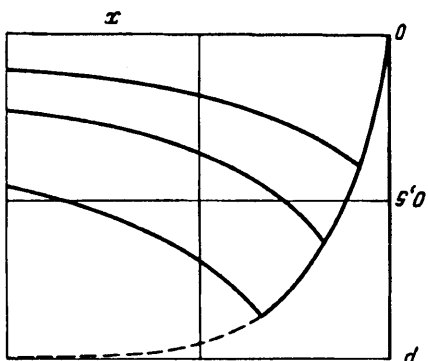
(2.2)



Фиг. 3



Фиг. 1



Фиг. 2

(2.3)

При заданном значении адиабаты решение задачи (2.2)—(2.3) зависит от единственного параметра  $\theta$  и представляется в виде

$$U(\xi, \eta) = \frac{\gamma\theta}{2} \int_{\eta-\xi}^{\eta+\xi} S(\lambda) I_0 \left( \frac{\theta}{2} \sqrt{\xi^2 - (\eta - \lambda)^2} \right) d\lambda \quad (2.4)$$

Здесь  $I_0(z)$  — функция Бесселя,  $S(\lambda) = 1$  при  $-1 \leq \lambda \leq 1$ ,  $S(\lambda) = 0$  при  $|\lambda| > 1$ .

Область интегрирования показана на фиг. 1. На характеристиках, изображенных на схеме, первые производные функции  $U, p_1$  по нормали к характеристикам терпят разрывы, а сами функции непрерывны. Возмущения распространяются только при  $\xi > 0$ , т. е. до начала клина

$$U(\xi, \eta) = 0, \quad p_1(x, z) = 0, \quad \eta > \xi + 1, \quad \eta < -\xi - 1$$

Покажем, что при  $a \rightarrow \infty$  решение гиперболической краевой задачи (2.4) для щитка конечного размаха  $a$  переходит в решение двумерной задачи об обтекании щитка бесконечного размаха, полученное в [9].

Представим решение (2.4) в виде

$$U(\xi, \eta) = \frac{\gamma\theta}{2} \int_{\eta-\xi}^{\eta+\xi} S(\lambda) I_0 \left( \frac{1}{2} \sqrt{\frac{x^2}{L^2} - \frac{(a\lambda - z)^2}{|L(L+1)|}} \right) d\lambda$$

Проведем замену переменных

$$t = \frac{a\lambda - z}{\sqrt{|L(L+1)|}}, \quad \lambda = \eta + \xi, \quad t = \frac{x}{|L|}, \quad \lambda = \eta - \xi, \quad t = -\frac{x}{|L|}$$

Для любой точки внутри характеристического треугольника ( $s(\lambda) = 1$ )

$$U = \frac{1}{2} \gamma \int_{-x_1}^{x_1} I_0 \left( \frac{1}{2} \sqrt{x_1^2 - t^2} \right) dt = 2\gamma \int_0^{x_2} \frac{I_0(\tau) \tau d\tau}{\sqrt{x_2^2 - \tau^2}}$$

$$x_1 = \frac{x}{|L|}, \quad x_2 = \left| \frac{x}{2L} \right|, \quad \tau = \frac{1}{2} \sqrt{x_1^2 - t^2}$$

Учитывая, что

$$\int_0^a \frac{x}{\sqrt{a^2 - x^2}} I_0(x) dx = sha, \quad a > 0$$

получаем  $U = \gamma (e^{-x/2L} - e^{x/2L})$ .

Давление имеет вид  $p_1 = U e^{-1/2\theta\xi}$ , а так как  $-1/2\theta\xi = x/2L$ , приходим к тому же, что и в [9], выражению для возмущения давления для  $x > 0$  и  $L < 0$ :  $p_1 = \gamma(1 - e^{x/L})$ .

Результат справедлив без какого-либо предельного перехода для любой точки внутри характеристического треугольника. Это естественно, поскольку течение в этой области не испытывает влияния краев клина.

Результаты численного интегрирования уравнения (2.4) представлены на фиг. 2, где показаны распределение давления  $p_1(x)$  на линии симметрии и влияние параметра подобия  $\theta$  (пунктирная линия соответствует обтеканию плоского щитка). Значение параметра  $\theta$  фактически является координатой расположения точки пересечения характеристик. На фиг. 3 представлены графики продольного распределения давления при различных значениях координаты размаха  $\eta$ , которая менялась от  $\eta = 0$  (линия симметрии) до  $\eta = 2$  с шагом  $\Delta\eta = 1$ .

Рассмотрим случай докритического режима обтекания неровности,  $L > 0$ . Задача является эллиптической. В этом случае увеличение давления происходит

до препятствия. Потребуем непрерывности давления при переходе через линию  $x = 0$  и выполнения условия затухания  $p_1 \rightarrow 0$  при  $x^2 + z^2 \rightarrow \infty$ .

Выполняя замену переменных в уравнении (2.1), преобразуем задачу к виду

$$\eta = \frac{z}{a}, \quad \xi = \frac{x}{a} \sqrt{\frac{L+1}{L}}.$$

$$\theta = \frac{a}{\sqrt{L(L+1)}}, \quad p_1 = U(\xi, \eta) e^{V_2 \theta \xi}$$

$$\frac{\partial^2 U}{\partial \xi^2} + \frac{\partial^2 U}{\partial \eta^2} - \frac{\theta^2}{4} U = 0 \quad (2.5)$$

$$\frac{\partial U}{\partial \xi} \Big|_{0^+} - \frac{\partial U}{\partial \xi} \Big|_{0^-} = -\gamma \theta \quad (-1 < \eta < 1)$$

$$U(\xi, \eta) e^{-V_2 \theta \xi} \rightarrow 0, \quad \xi^2 + \eta^2 \rightarrow \infty$$

Функция  $U(\xi, \eta)$  непрерывна на линии  $\xi = 0$ ,  $-1 < \eta < 1$ . Решение задачи (2.5) имеет вид

$$U(\xi, \eta) = \frac{\gamma \theta}{2\pi} \int_{-1}^1 K_0 \left( \frac{\theta}{2} \sqrt{\xi^2 + (\eta - \lambda)^2} \right) d\lambda \quad (2.6)$$

где  $K_0$  — функция Бесселя 2-го рода.

Покажем, что в пределе  $a \rightarrow \infty$ ,  $x = O(1)$ ,  $z = O(1)$  решение (2.6) переходит в решение задачи о щитке бесконечного размаха [9]. Представим решение (2.6) в виде

$$U(\xi, \eta) = \frac{\gamma \theta}{2\pi} \int_{-1}^1 K_0 \left( \frac{1}{2} \sqrt{\frac{x^2}{L^2} + \frac{(z - a\lambda)^2}{L(L+1)}} \right) d\lambda$$

Проводя замену переменных

$$t = \frac{a\lambda - z}{\sqrt{L(L+1)}}, \quad t_1 = \frac{-a - z}{\sqrt{L(L+1)}}, \quad t_2 = \frac{a - z}{\sqrt{L(L+1)}}$$

получаем

$$U(\xi, \eta) = \frac{\gamma}{2\pi} \int_{t_1}^{t_2} K_0 \left( \frac{1}{2} \sqrt{\frac{x^2}{L^2} + t^2} \right) dt$$

При  $z = O(1)$ ,  $a \rightarrow \infty$  пределы интегрирования стремятся соответственно к  $+\infty$  и  $-\infty$ .

Вводя новую переменную  $\tau = 1/2 \sqrt{x^2/L^2 + t^2}$  и учитывая, что

$$\int_{-a}^{\infty} \frac{K_0(\tau) \tau d\tau}{\sqrt{\tau^2 - a^2}} = \frac{\pi}{a} e^{-a}$$

получаем выражения для  $U$  при  $a \rightarrow \infty$ ,  $z = O(1)$ ,  $x = O(1)$

$$U(\xi, \eta) = \frac{\gamma}{2\pi} \int_{-\infty}^{+\infty} K_0 \left( \frac{1}{2} \sqrt{\frac{x^2}{L^2} + t^2} \right) dt = \frac{2\gamma}{\pi} \int_{|x/2L|}^{\infty} \frac{K_0(\tau) \tau d\tau}{\sqrt{\tau^2 - x^2/L^2}} = \gamma e^{|x|/2L}$$

Тогда возмущение давления  $p_1$  принимает вид

$$p_1 = U e^{V_2 \theta \xi} = \gamma e^{-|x|/2L} e^{x/2L} = \begin{cases} \gamma, & x > 0 \\ \gamma e^{x/L}, & x < 0 \end{cases}$$

что совпадает с результатом работы [9].

3. Расчет вязкого подслоя на линии симметрии. Полученные результаты позволяют провести расчеты течения в вязком подслое и определить тепловые потоки, вызванные наличием клина конечного размаха.

При  $y = O(\sigma^2)$  располагается слой, возмущения в котором нелинейные. Заметим, что по толщине он существенно меньше толщины неровности. Выберем масштаб  $\sigma$  так, чтобы в нелинейном подслое  $y = O(\sigma^2)$  действовали силы вязкости. Пусть вязкость линейно зависит от температуры, а число Прандтля равно единице. Определим число Рейнольдса  $Re = \rho_e u_e L_1 / \mu_e$ , где  $L_1$  — расстояние от начала пластины до неровности,  $\mu_e$  — коэффициент вязкости. Тогда толщина пограничного слоя над неровностью  $\sigma \sim L_1 M_e^2 Re^{-1/2}$ . Для того чтобы в нелинейном подслое действовала вязкость, должно быть выполнено условие  $\sigma = \chi^{1/3}$ , где  $\chi = M_e^3 Re^{-1/2}$ . Тогда, определяя  $\sigma = \chi^{1/3}$ ,  $l = L_1 \chi$ , при  $y = O(\sigma^2)$  получим следующее представление решения:

$$\begin{aligned} u_p &= u \chi^{1/3} u(x, y, z) + \dots, \quad v_p = u \chi M_e^{-1} v(x, y, z) + \dots \\ w_p &= u \chi^{1/3} w(x, y, z) + \dots, \quad \rho_p = \rho_e M_e^{-2} \chi^{1/3} \rho(x, y, z) + \dots \\ p_p &= p_e [1 + \gamma \chi^{1/3} p(x, y, z) + \dots], \quad n_p = u^2 \chi^{1/3} h(x, y, z) + \dots \\ \mu_p &= \mu_e (\gamma - 1) \chi^{1/3} M_e^2 h(x, y, z) + \dots \\ x_p &= L \chi x, \quad y_p = L \chi^3 M_e^{-1} y, \quad z_p = L \chi z \end{aligned} \quad (3.1)$$

Подставляя разложения (3.1) в уравнения Навье — Стокса и совершая предельный переход  $\chi \rightarrow 0$ ,  $M_e \rightarrow 0$ , приходим к системе уравнений трехмерного пограничного слоя.

Ограничимся рассмотрением решений на линии симметрии для случая закритического режима ( $L < 0$ ). Переходя к переменным Дородницына

$$x = x, \quad z = z, \quad \eta = \int_0^y \rho \, dy$$

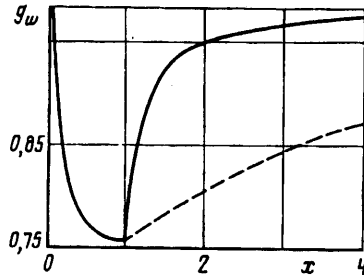
и вводя функции  $F = w/z$ ,  $f_1, f_2$  так что  $u = \partial f_1 / \partial \eta$ ,  $F = \partial f_2 / \partial \eta$ ,  $V = -\partial f_1 / \partial x - f_2$ , получим на линии симметрии систему уравнений

$$\begin{aligned} u_1 \frac{\partial u_1}{\partial x_1} + v_1 \frac{\partial u_1}{\partial \eta_1} &= -h_1 \frac{\partial p}{\partial x_1} + \frac{\partial^2 u_1}{\partial \eta_1^2} \\ u_1 \frac{\partial F_1}{\partial x_1} + v_1 \frac{\partial F_1}{\partial \eta_1} + F_1^2 &= h_1 \frac{\partial F_{1\infty}}{\partial x_1} + \frac{\partial^2 F_1}{\partial \eta_1^2} \\ u_1 \frac{\partial h_1}{\partial x_1} + v_1 \frac{\partial h_1}{\partial \eta_1} &= \frac{\partial^2 h_1}{\partial \eta_1^2} \\ \frac{\partial u_1}{\partial x_1} + \frac{\partial v_1}{\partial \eta_1} + F_1 &= 0 \end{aligned}$$

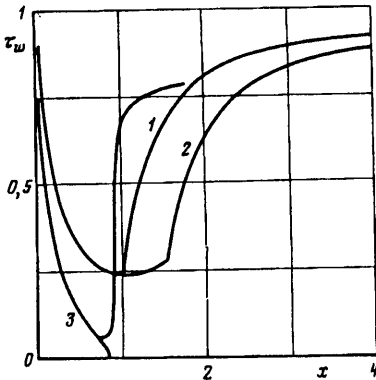
$$x = |L| x_1, \quad \eta = k \eta_1, \quad k = \left( \frac{L}{A} \right)^{1/3}$$

$$u = A k u_1, \quad V = \frac{V_1}{k}, \quad F = \frac{F_1}{k^2}$$

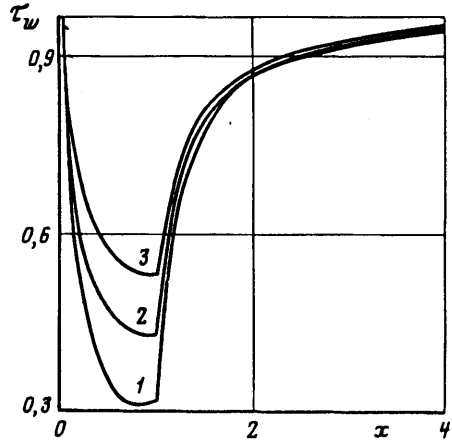
$$h = B k h_1, \quad h_{w_1} = 0, 5 g_w \frac{\chi^{-1/3}}{B k}$$



Фиг. 4



Фиг. 5



Фиг. 6

$$\alpha_1 = \frac{\alpha (\gamma - 1)}{A^2 k} B M \chi^{-1/3}$$

$$A = 0,5 c_f Re^{1/2}, \quad B = 0,5 St Re^{1/2}$$

где  $c_f$  и  $St$  — коэффициент трения и число Стантона для невозмущенного слоя в том месте, где расположена неровность.

До начала клина ( $x_1 < 0$ ) течения остается невозмущенным:  $u_1 = \eta_1$ ,  $h_1 = \eta_1 + h_{w1}$ ,  $p = 0$ ,  $F_1 = 0$ . От начала клина до места пересечения характеристик, идущих от его боковых граней ( $0 \leq x_1 \leq \theta$ ), располагается область двумерного течения

$$F_1 = 0, \quad \frac{\partial p}{\partial x_1} = \alpha_1 e^{-x_1}, \quad u_1 = 0, \quad h_1 = h_{w1} \quad (\eta_1 = 0)$$

$$u_1 = \eta_1 + O(\eta_1), \quad h_1 = \eta_1 + O(\eta_1) \quad (\eta_1 \rightarrow \infty)$$

Эффекты растекания проявляются только после пересечения характеристик в плоскости симметрии ( $x_1 > \theta$ ). Здесь

$$\frac{\partial p}{\partial x_1} = \frac{1}{2} \alpha_1 e^{-1/2 x_1} \{ J_1(x_1) + x_1 J_2(x_1) \}$$

$$F_{1\infty} = -\lambda \alpha_1 \left[ \frac{1}{2} e^{-x_1/2} (J_1(x_1) + x_1 J_2(x_1)) - 1 \right], \quad \lambda = \frac{1L1}{L+1}$$

$$u_1 = F_1 = 0, \quad h_1 = h_{w1} \quad (\eta_1 = 0)$$



$$u_1 = \eta_1 + O(\eta_1), \quad h_1 = \eta_1 + O(\eta_1), \quad F_1 = F_{1\infty} + O(1) \quad (\eta_1 \rightarrow \infty)$$

$$J_1 = \int_0^\theta I_0 \left( \frac{1}{2} \sqrt{\xi^2 - \tau^2} \right) d\tau, \quad J_2 = \int_0^\theta \frac{I_1 (1/2 \sqrt{\xi^2 - \tau^2})}{\sqrt{\xi^2 - \tau^2}} d\tau$$

Таким образом, в задачу входят четыре независимых параметра:  $\alpha_1$  — приведенный угол отклонения клина,  $h_{w1}$  — приведенный температурный фактор,  $\theta$  — приведенная ширина размаха клина,  $\lambda$  — величина, характеризующая степень закритичности пограничного слоя.

На фиг. 4—6 представлены результаты численных расчетов вязкого подслоя при обтекании клина конечного размаха на линии симметрии. Различие распределения тепловых потоков  $q_w(x_1)$  на линии симметрии клина конечного размаха и для случая плоского обтекания (пунктирная линия) показано на фиг. 4 при  $\alpha_1 = 0,3$ ,  $h_{w1} = 1$ ,  $\theta = 1$ . Из результатов расчетов видно, что включение пространственных членов в систему уравнений качественно меняет вид решения.

На фиг. 5 представлены распределения поверхностного трения для различных значений параметра подобия  $\theta$ :  $\theta = 1$  соответствует кривой 1,  $\theta = 1,5$  — кривой 2,  $h_{w1} = 0,5$ ,  $\alpha_1 = 0,5$ ,  $\lambda = 0,1$ . Следует подчеркнуть, что при  $x_1 < \theta$  течение плоское, из поведения кривых 3 —  $\tau_w(x)$  видно, что значение приведенной ширины размаха клина  $\theta = 0,75$  соответствует еще безотрывному обтеканию ( $\tau_{w\min} = 0,05$ ), а при  $\theta = 1$  уже присутствует точка отрыва. На фиг. 6 показано влияние температурного фактора  $h_{w1}$  на распределение  $\tau_w(x)$  при параметрах  $\theta = 1$ ,  $\alpha_1 = 0,35$ ,  $\lambda = 0,1$ ,  $h_{w1} = 1; 0,75; 0,5$  (кривые 1—3). Увеличение  $h_{w1}$  приближает отрыв.

#### СПИСОК ЛИТЕРАТУРЫ

1. Sedney F. The effects of steady, three-dimensional perturbations in boundary layers//AIAA Pap. 1972. № 713. P. 14.
2. Smith F. T. Laminar flow over a small hump on a flat plate//J. Fluid Mech. 1973. V. 57. № 4. P. 803—824.
3. Боголепов В. В., Нейланд В. Я. Исследование локальных возмущений вязких сверхзвуковых течений//Аэромеханика. М.: Наука, 1976. С. 104—118.
4. Smith F. T., Sykes R. I., Brighton P. W. M. A two-dimensional boundary layer encountering a three-dimensional hump//J. Fluid Mech. 1977. V. 83. № 1. P. 163—176.
5. Mason P. J., Sykes R. I. Three-dimensional numerical integration on the Navier-Stokes equations for flow over surface-mounted obstacles//J. Fluid Mech. 1979. V. 91. № 3. P. 433—450.
6. Липатов И. И. Пространственное обтекание малой неровности ламинарным пограничным слоем//Уч. зап. ЦАГИ. 1980. Т. 11. № 2. С. 122—127.
7. Боголепов В. В., Липатов И. И. Исследование пространственных локальных ламинарных течений//ПМТФ. 1985. № 1. С. 28—36.
8. Боголепов В. В. Анализ режимов обтекания малых пространственных неровностей на поверхности тела//Тр. ЦАГИ. 1988. Вып. 2376. С. 3—29.
9. Нейланд В. Я., Соколов Л. А. К асимптотической теории зарождения отрыва около щитка при обтекании охлажденного тела гиперзвуковым потоком на режиме слабого гиперзвукового взаимодействия//Уч. зап. ЦАГИ. 1975. Т. 6. № 3. С. 25—34.
10. Конотоп Т. В. Вязкий подслей в окрестности угловой точки при обтекании охлажденного тела сверхзвуковым потоком//Изв. АН СССР. МЖГ. 1989. № 6. С. 142—147.

Москва

Поступила в редакцию  
16.IX.1991